

# Speeded-UP Robust Features

---

Referent: Farzin Ranjbar Mirzakhani



Universität Hamburg

DER FORSCHUNG | DER LEHRE | DER BILDUNG



# Agenda

---

- SURF vs. SIFT - grober Vergleich
  - Allgemein
  - Interesting-Point-Detector bzw. Feature-Detector
  - Skalierungsinvarianz
  - Feature-Descriptor
- SURF – detaillierte Vorstellung
  - Feature-Detector
  - Feature-Descriptor
- Literatur- und Abbildungsverzeichnis

# SURF vs. SIFT – grober Vergleich

---



Universität Hamburg

DER FORSCHUNG | DER LEHRE | DER BILDUNG

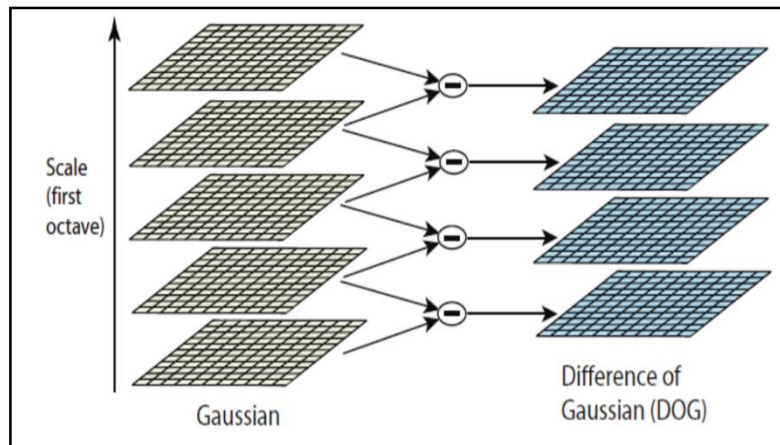


# SURF vs. SIFT - Allgemein

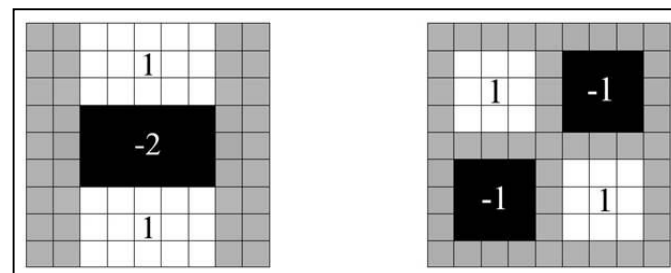
<b>SIFT</b>	<b>SURF</b>
1999	2006
sehr langsam	langsam (schneller als SIFT u.a. wegen Approximationen)
langsam für Echtzeit-Anwendungen	
patentiert	

**Abbildung 1: SIFT und SURF im groben Vergleich**

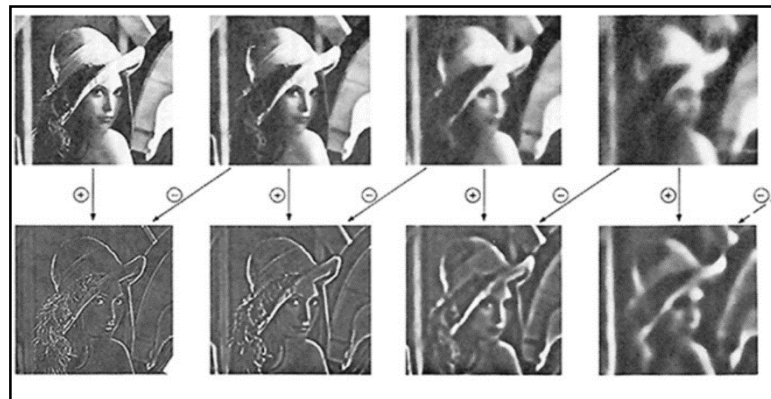
# SURF vs. SIFT – IP-Detection



**Abbildung 2: SIFT – DOG**

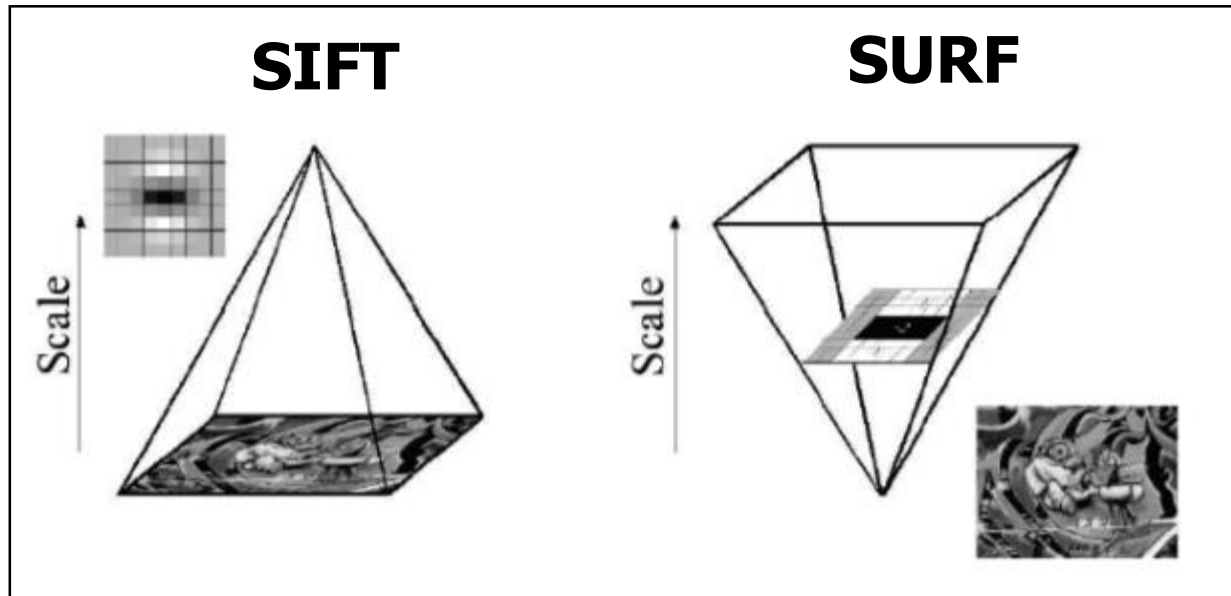


**Abbildung 4: SURF - Boxfilter**



**Abbildung 3: SIFT – DOG, visuelles Beispiel**

# SURF vs. SIFT – Skalierungsinvarianz



**Abbildung 5: Erzeugung von Skalierungsinvarianz bei SIFT vs. SURF**

Auf der linken Seite wird die Größe des Bildes immer weiter verkleinert, auf der rechten Seite werden die Filter nach und nach vergrößert.

# SURF vs. SIFT – Feature-Descriptor

---

- **SIFT**

- Descriptor bzw. Feature-Vector mit 128 Einträgen für jedes Feature.

- **SURF**

- Descriptor bzw. Feature-Vector mit 64 Einträgen für jedes Feature.

# SURF – detaillierte Vorstellung

---



Universität Hamburg

DER FORSCHUNG | DER LEHRE | DER BILDUNG





# SURF – detaillierte Vorstellung - Agenda

---

- SURF
  - Feature-Detector
    - Wie werden die IPs mit Hilfe von Box-Filter gefunden?
    - Wie wird die Skalierungsinvarianz garantiert?
  - Feature-Descriptor
    - Wie wird der Descriptor im Groben erstellt?

# Feature-Detector

---

**Wie werden die IPs mit Hilfe von Box-Filter gefunden?**



Universität Hamburg

DER FORSCHUNG | DER LEHRE | DER BILDUNG

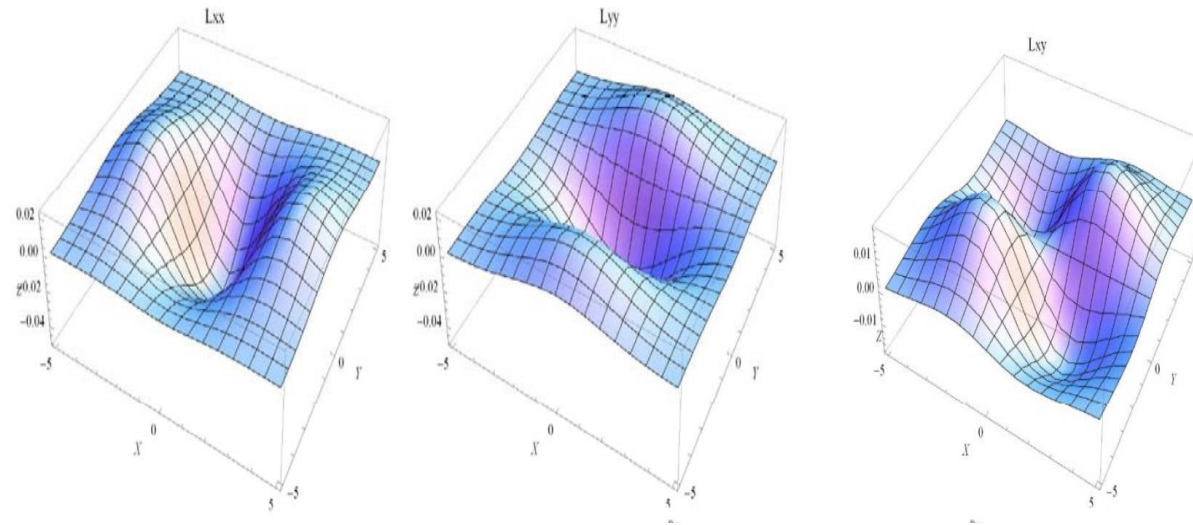


# SURF – Gewichtung von Bildpunkten

---

- Bild wird zunächst zu einem Graustufenbild konvertiert
- Um die Gewichtung eines Pixels zu bestimmen, wird es mit drei Filtern  $L_{xx}$ ,  $L_{yy}$ ,  $L_{xy}$  gefaltet
- Die Filter basieren auf der zweiten Ableitung der Gauß-Funktion und geben die Bildintensitätssteigung des Pixels am Punkt  $(x, y)$  in horizontaler ( $L_{xx}$ ), vertikaler ( $L_{yy}$ ) und diagonaler ( $L_{xy}$ ) Richtung an.

# SURF – Gewichtung von Bildpunkten



**Abbildung 6: Horizontaler, vertikaler und diagonaler Filter**

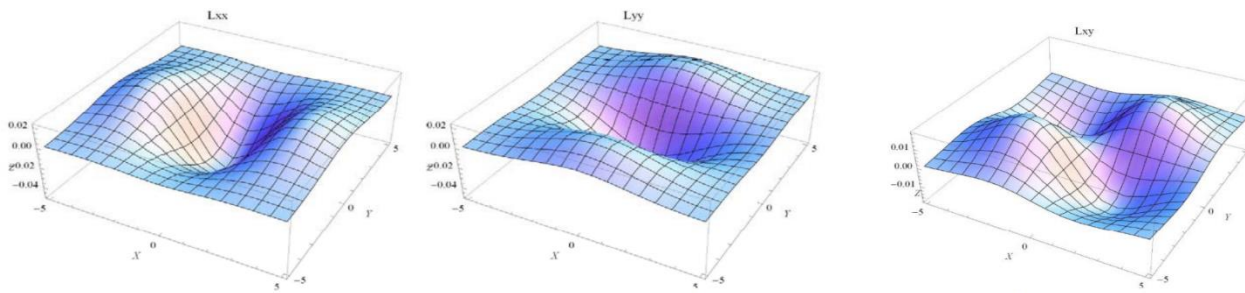
- Man erhält durch die Faltung mit den Filtern einen Aufschluss über die Kontrastverteilung im Umkreis des Bildpunktes.

# SURF – Hesse-Matrix

- Eine Hesse-Matrix stellt alle möglichen Ableitungskombinationen einer Funktion dar.
- Folglich auch alle möglichen Ableitungskombinationen der Gauß-Funktion und damit die drei vorgestellten Filter:

$$H(x, \sigma) = \begin{bmatrix} L_{xx}(x, \sigma) & L_{xy}(x, \sigma) \\ L_{xy}(x, \sigma) & L_{yy}(x, \sigma) \end{bmatrix}$$

**Abbildung 7: Aufbau der Hesse-Matrix**



**Abbildung 8: Horizontaler, vertikaler und diagonaler Filter**

# SURF – Determinante der Hesse-Matrix

---

- Um alle drei Filter zu kombinieren und nur einen Wert für jedes Pixel zu speichern, wird die Determinante der Hesse-Matrix als Gewichtung für die Pixel genommen:

$$\det(H) = L_{xx} * L_{yy} * L_{xy}^2$$

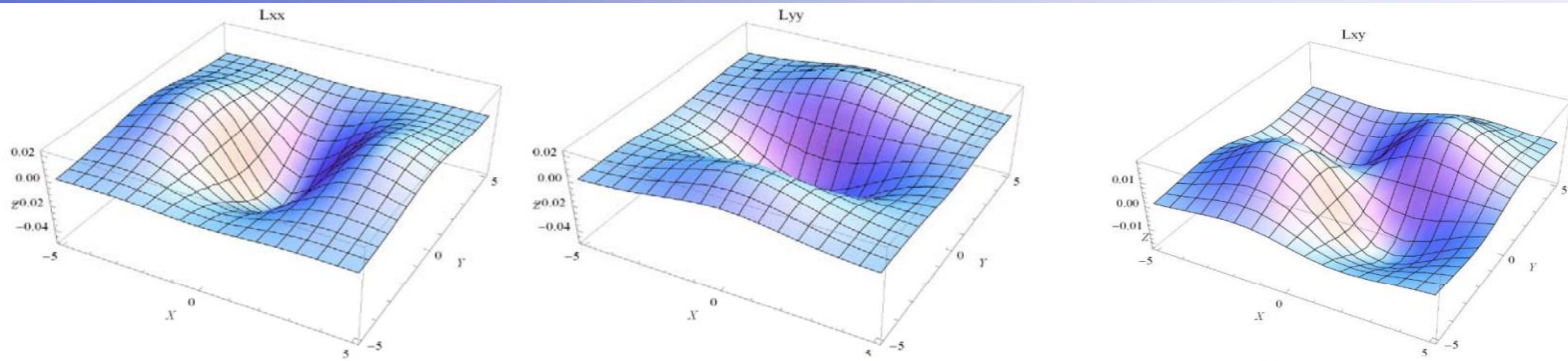
- Je höher der Wert eines Bildpunktes ist, desto kontrastreicher ist demnach seine Umgebung und er kommt eher als IP in Frage.

# SURF – Verkürzung der Laufzeit

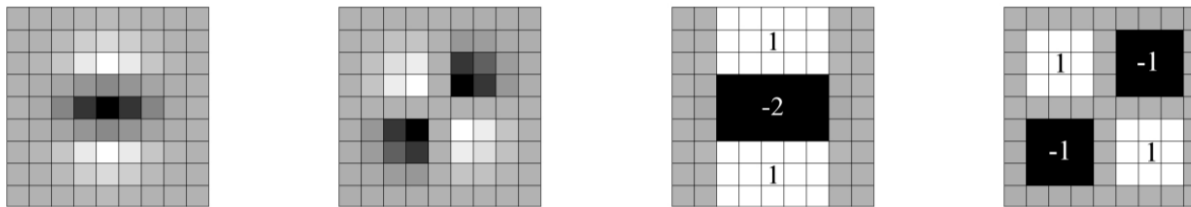
---

- Für die Faltung mit einem Bild werden  $L_{xx}$ ,  $L_{yy}$  &  $L_{xy}$  in SURF diskretisiert und weitergehend durch die Mittelwertfilter (Box-Filter)  $D_{xx}$ ,  $D_{yy}$  &  $D_{xy}$  approximiert.

# SURF – Verkürzung der Laufzeit



**Abbildung 9: Horizontaler, vertikaler und diagonaler Filter**



**Abbildung 10: Filter  $L_{yy}$ ,  $L_{xy}$  und die approx. Varianten  $D_{yy}$  und  $D_{xy}$**

- Von links nach rechts: Die diskretisierten Filtermasken für die zweite partielle Ableitung der Gauß-Funktion in  $yy$ - ( $L_{yy}$ ) und  $xy$ -Richtung ( $L_{xy}$ ) und deren in SURF angewandten Approximationen  $D_{yy}$  &  $D_{xy}$ . Die grauen Regionen entsprechen einer Gewichtung mit 0.

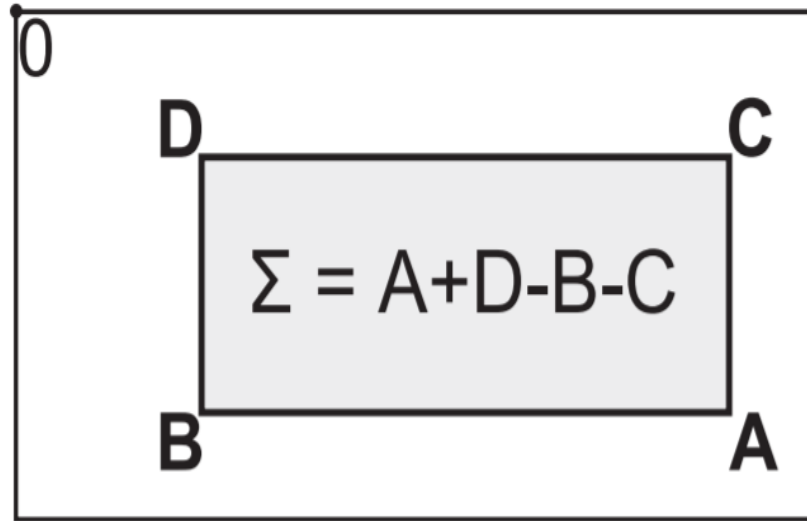


# SURF – Verkürzung der Laufzeit

---

- Box-Filter lassen sich ideal auf ein Integralbild anwenden. Dadurch werden die Anwendungskosten der Filter unabhängig von Filter und Bildgröße.
- Integralbild
  - Der Wert eines Pixels  $x = (x, y)$  ist die Summe der Werte aller Pixel im Rechteck zwischen dem Ursprung des Bildes und dem Pixel.
  - Damit ist es möglich die Summe der Werte aller Pixel innerhalb eines beliebigen Rechtecks mit nur vier Speicherzugriffen und drei Additionen zu bestimmen.

# SURF – Verkürzung der Laufzeit



**Abbildung 11: Berechnung einer Fläche auf dem Integralbild**

- Um die Summe des grauen Rechtecks zu ermitteln, sind unabhängig der Größe nur 4 Speicherzugriffe (A,B,C,D) und 3 Additionen nötig.

# SURF – Verkürzung der Laufzeit

- Auswirkung auf die Berechnung der Hesse-Matrix und ihre Determinante

$$\mathcal{H}(\mathbf{x}, \sigma) = \begin{pmatrix} L_{xx}(\mathbf{x}, \sigma) & L_{xy}(\mathbf{x}, \sigma) \\ L_{yx}(\mathbf{x}, \sigma) & L_{yy}(\mathbf{x}, \sigma) \end{pmatrix} \quad \mathcal{H}_{approx.}(\mathbf{x}, s) = \begin{pmatrix} D_{xx}(\mathbf{x}, s) & D_{xy}(\mathbf{x}, s) \\ D_{xy}(\mathbf{x}, s) & D_{yy}(\mathbf{x}, s) \end{pmatrix}$$

$$\det(\mathcal{H}_{approx.}) = D_{xx}D_{yy} - (wD_{xy})^2 \quad w \approx 0.912$$

**Abbildung 12: Berechnung der Hesse-Matrix und ihre Determinante (mit den Box-Filtern)**

# SURF – Berechnungsbeispiel

$$\begin{pmatrix} 1 & 2 & 3 & 4 & 5 & 6 & 7 & 8 & 9 \\ 1 & 2 & 3 & 4 & 5 & 6 & 7 & 8 & 9 \\ 1 & 2 & 3 & 4 & 5 & 6 & 7 & 8 & 9 \\ 1 & 2 & 3 & 4 & 5 & 6 & 7 & 8 & 9 \\ 1 & 2 & 3 & 4 & \mathbf{5} & 6 & 7 & 8 & 9 \\ 1 & 2 & 3 & 4 & 5 & 6 & 7 & 8 & 9 \\ 1 & 2 & 3 & 4 & 5 & 6 & 7 & 8 & 9 \\ 1 & 2 & 3 & 4 & 5 & 6 & 7 & 8 & 9 \\ 1 & 2 & 3 & 4 & 5 & 6 & 7 & 8 & 9 \end{pmatrix} \xrightarrow{\text{Integralbild}} \begin{pmatrix} 1 & 3 & 6 & 10 & 15 & 21 & 28 & 36 & 45 \\ 2 & 6 & 12 & 20 & 30 & 42 & 56 & 72 & 90 \\ 3 & 9 & 18 & 30 & 45 & 63 & 84 & 108 & 135 \\ 4 & 12 & 24 & 40 & 60 & 84 & 112 & 144 & 180 \\ 5 & 15 & 30 & 50 & 75 & 105 & 140 & 180 & 225 \\ 6 & 18 & 36 & 60 & 90 & 126 & 168 & 216 & 270 \\ 7 & 21 & 42 & 70 & 105 & 147 & 196 & 252 & 315 \\ 8 & 24 & 48 & 80 & 120 & 168 & 224 & 288 & 360 \\ 9 & 27 & 54 & 90 & 135 & 189 & 252 & 324 & 405 \end{pmatrix}$$

**Abbildung 13: Berechnungsbeispiel des Integralbilds**

- Basierend auf dem Integralbild die Werte der Hesse-Matrix des mittleren Punktes  $x = (5, 5)$  mit Filtern der Seitlänge 9 berechnen und die Determinante bestimmen

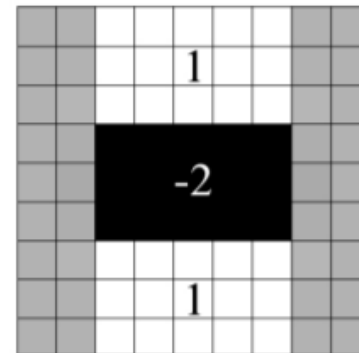
# SURF – Berechnungsbeispiel

$$\begin{pmatrix} 1 & 2 & 3 & 4 & 5 & 6 & 7 & 8 & 9 \\ 1 & 2 & 3 & 4 & 5 & 6 & 7 & 8 & 9 \\ 1 & 2 & 3 & 4 & 5 & 6 & 7 & 8 & 9 \\ 1 & 2 & 3 & 4 & 5 & 6 & 7 & 8 & 9 \\ 1 & 2 & 3 & 4 & \mathbf{5} & 6 & 7 & 8 & 9 \\ 1 & 2 & 3 & 4 & 5 & 6 & 7 & 8 & 9 \\ 1 & 2 & 3 & 4 & 5 & 6 & 7 & 8 & 9 \\ 1 & 2 & 3 & 4 & 5 & 6 & 7 & 8 & 9 \\ 1 & 2 & 3 & 4 & 5 & 6 & 7 & 8 & 9 \end{pmatrix} \xrightarrow{\text{Integralbild}} \begin{pmatrix} 1 & 3 & 6 & 10 & 15 & 21 & 28 & 36 & 45 \\ 2 & 6 & 12 & 20 & 30 & 42 & 56 & 72 & 90 \\ 3 & 9 & 18 & 30 & 45 & 63 & 84 & 108 & 135 \\ 4 & 12 & 24 & 40 & 60 & 84 & 112 & 144 & 180 \\ 5 & 15 & 30 & 50 & 75 & 105 & 140 & 180 & 225 \\ 6 & 18 & 36 & 60 & 90 & 126 & 168 & 216 & 270 \\ 7 & 21 & 42 & 70 & 105 & 147 & 196 & 252 & 315 \\ 8 & 24 & 48 & 80 & 120 & 168 & 224 & 288 & 360 \\ 9 & 27 & 54 & 90 & 135 & 189 & 252 & 324 & 405 \end{pmatrix}$$

**Abbildung 14: Berechnungsbeispiel des Integralbilds**

## Vertikaler Boxfilter

$$\begin{aligned}
 D_{yy}(\mathbf{x}, 9) &= 1 * (84 + 0 - 9 - 0) - \\
 &\quad 2 * (168 + 9 - 18 - 84) + \\
 &\quad 1 * (252 + 18 - 27 - 168) \\
 &= 1 * 75 - 2 * 75 + 1 * 75 = 0
 \end{aligned}$$



**Abbildung 15: Vertikaler Boxfilter**

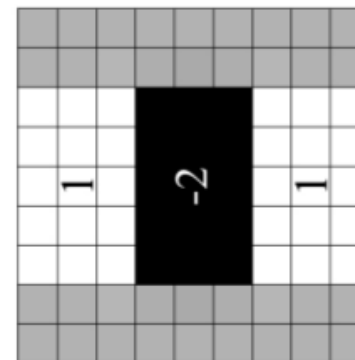
# SURF – Berechnungsbeispiel

$$\begin{pmatrix} 1 & 2 & 3 & 4 & 5 & 6 & 7 & 8 & 9 \\ 1 & 2 & 3 & 4 & 5 & 6 & 7 & 8 & 9 \\ 1 & 2 & 3 & 4 & 5 & 6 & 7 & 8 & 9 \\ 1 & 2 & 3 & 4 & 5 & 6 & 7 & 8 & 9 \\ 1 & 2 & 3 & 4 & \mathbf{5} & 6 & 7 & 8 & 9 \\ 1 & 2 & 3 & 4 & 5 & 6 & 7 & 8 & 9 \\ 1 & 2 & 3 & 4 & 5 & 6 & 7 & 8 & 9 \\ 1 & 2 & 3 & 4 & 5 & 6 & 7 & 8 & 9 \\ 1 & 2 & 3 & 4 & 5 & 6 & 7 & 8 & 9 \end{pmatrix} \xrightarrow{\text{Integralbild}} \begin{pmatrix} 1 & 3 & 6 & 10 & 15 & 21 & 28 & 36 & 45 \\ 2 & 6 & 12 & 20 & 30 & 42 & 56 & 72 & 90 \\ 3 & 9 & 18 & 30 & 45 & 63 & 84 & 108 & 135 \\ 4 & 12 & 24 & 40 & 60 & 84 & 112 & 144 & 180 \\ 5 & 15 & 30 & 50 & 75 & 105 & 140 & 180 & 225 \\ 6 & 18 & 36 & 60 & 90 & 126 & 168 & 216 & 270 \\ 7 & 21 & 42 & 70 & 105 & 147 & 196 & 252 & 315 \\ 8 & 24 & 48 & 80 & 120 & 168 & 224 & 288 & 360 \\ 9 & 27 & 54 & 90 & 135 & 189 & 252 & 324 & 405 \end{pmatrix}$$

**Abbildung 16: Berechnungsbeispiel des Integralbilds**

## Horizontaler Boxfilter

$$\begin{aligned}
 D_{xx}(\mathbf{x}, 9) &= 1 * (42 + 0 - 0 - 12) - \\
 & 2 * (147 + 12 - 42 - 42) + \\
 & 1 * (315 + 42 - 147 - 90) \\
 &= 1 * 30 - 2 * 75 + 1 * 120 = 0
 \end{aligned}$$



**Abbildung 17: Horizontaler Boxfilter**

# SURF – Berechnungsbeispiel

$$\begin{pmatrix} 1 & 2 & 3 & 4 & 5 & 6 & 7 & 8 & 9 \\ 1 & 2 & 3 & 4 & 5 & 6 & 7 & 8 & 9 \\ 1 & 2 & 3 & 4 & 5 & 6 & 7 & 8 & 9 \\ 1 & 2 & 3 & 4 & 5 & 6 & 7 & 8 & 9 \\ 1 & 2 & 3 & 4 & \mathbf{5} & 6 & 7 & 8 & 9 \\ 1 & 2 & 3 & 4 & 5 & 6 & 7 & 8 & 9 \\ 1 & 2 & 3 & 4 & 5 & 6 & 7 & 8 & 9 \\ 1 & 2 & 3 & 4 & 5 & 6 & 7 & 8 & 9 \\ 1 & 2 & 3 & 4 & 5 & 6 & 7 & 8 & 9 \end{pmatrix} \xrightarrow{\text{Integralbild}} \begin{pmatrix} 1 & 3 & 6 & 10 & 15 & 21 & 28 & 36 & 45 \\ 2 & 6 & 12 & 20 & 30 & 42 & 56 & 72 & 90 \\ 3 & 9 & 18 & 30 & 45 & 63 & 84 & 108 & 135 \\ 4 & 12 & 24 & 40 & 60 & 84 & 112 & 144 & 180 \\ 5 & 15 & 30 & 50 & 75 & 105 & 140 & 180 & 225 \\ 6 & 18 & 36 & 60 & 90 & 126 & 168 & 216 & 270 \\ 7 & 21 & 42 & 70 & 105 & 147 & 196 & 252 & 315 \\ 8 & 24 & 48 & 80 & 120 & 168 & 224 & 288 & 360 \\ 9 & 27 & 54 & 90 & 135 & 189 & 252 & 324 & 405 \end{pmatrix}$$

**Abbildung 18: Berechnungsbeispiel des Integralbilds**

## Diagonaler Boxfilter

$$\begin{aligned}
 D_{xy}(\mathbf{x}, 9) &= 1 * (40 + 1 - 4 - 10) - \\
 & 1 * (144 + 15 - 60 - 36) - \\
 & 1 * (80 + 5 - 8 - 50) - \\
 & 1 * (288 + 75 - 120 - 180) \\
 &= 1 * 27 - 1 * 63 - 1 * 27 + 1 * 63 = 0
 \end{aligned}$$

## Determinante von $\mathbf{x}$

$$\begin{aligned}
 \det(\mathcal{H}_{approx.}) &= D_{xx}D_{yy} - (0.912D_{xy})^2 \\
 &= 0 * 0 - (0.912 * 0)^2 = 0
 \end{aligned}$$

# Feature-Detector

---

**Wie wird die Skalierungsinvarianz garantiert?**



Universität Hamburg

DER FORSCHUNG | DER LEHRE | DER BILDUNG



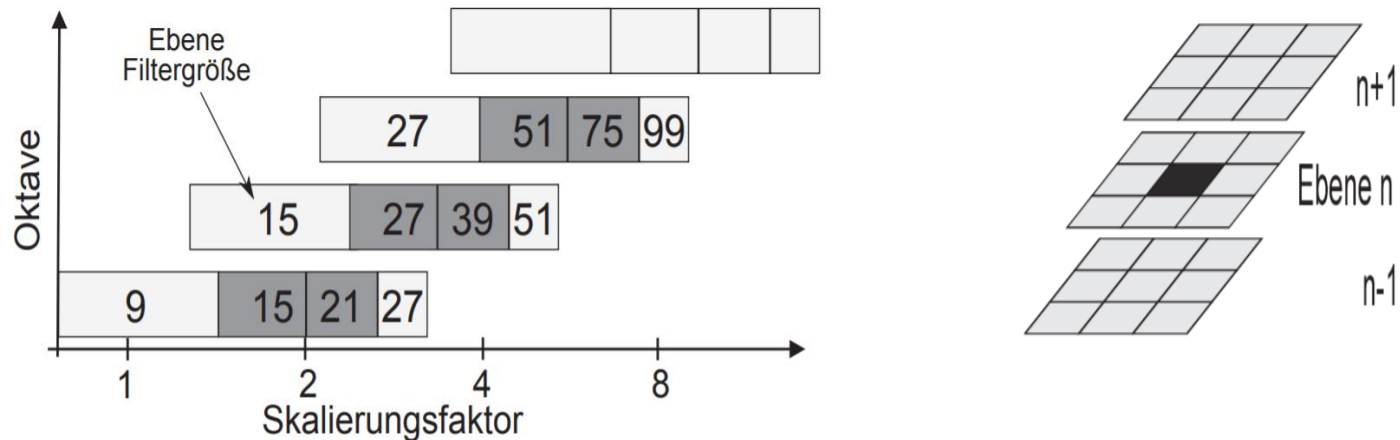


# SURF – Oktaven & Ebenen

---

- Die Extrempunkte müssen wie bei SIFT auf verschiedenen Skalierungen gesucht werden, um Skalierungsinvarianz zu erreichen.
- Dafür wird die Größe der Box-Filter, die zur Berechnung der Hesse-Matrix genutzt werden, variiert.
- Man vergrößert die Filter, da ihre Anwendung unabhängig ihrer Größe in konstanter Zeit geschieht.

# SURF – Oktaven & Ebenen



**Abbildung 19: Oktaven und Ebenen in Abhängigkeit der Filtergröße**

- Mit drei Oktaven, die aus je vier Ebenen bestehen, werden nahezu alle wichtigen Punkte erkannt.
- Durch weitere Oktaven werden kaum zusätzliche Bildpunkte gefunden.

# Feature-Descriptor

---

**Wie werden der Descriptor im Groben erstellt?**



Universität Hamburg

DER FORSCHUNG | DER LEHRE | DER BILDUNG



# SURF – Feature-Descriptor

---

- Ähnlich dem SIFT-Descriptor beschreibt auch der SURF-Descriptor wie die Pixelintensitäten in der Nachbarschaft jedes IP verteilt sind.

# SURF – Feature-Descriptor

---

- Folgendes wird für jeder IP durchlaufen
  - Zunächst wird die Hauptorientierung des IP berechnet
  - Als nächstes wird in dieser Richtung ein rechteckiges Fenster um den IP gelegt
    - Dieses Fenster wird in 16 gleich große Subregionen aufgeteilt. In jeder dieser Subregionen wird die Verteilung der Pixelintensität berechnet und anschließend in einen Vektor der Länge 4 extrahiert.
    - Durch die 16 Subregionen ergibt sich somit ein Descriptor-Vector der Länge  $4 \cdot 16 = 64$ .

# Literatur- und Abbildungsverzeichnis

---



Universität Hamburg

DER FORSCHUNG | DER LEHRE | DER BILDUNG



# Literaturverzeichnis

---

- **[1]** Kirill Yasinovskiy: Bildmerkmalssuche: Seminar Computational Photography, Abgerufen am x.x.19 von: <https://www.informatik.hu-berlin.de/de/forschung/gebiete/viscom/teaching/media/cphoto10/cphoto1004.pdf>
- **[2]** Christoffer Fuß: Evaluierung von Feature Deskriptoren, Abgerufen am x.x.19 von: [https://www.informatik.hu-berlin.de/de/forschung/gebiete/viscom/thesis/final/Studienarbeit\\_Fuss\\_201110.pdf](https://www.informatik.hu-berlin.de/de/forschung/gebiete/viscom/thesis/final/Studienarbeit_Fuss_201110.pdf)
- **[3]** Robert Hofmann: Implementierung des SURF-Feature-Detektors auf der GPU mit Hilfe von CUDA, Abgerufen am x.x.19 von: [https://www.uni-koblenz.de/~cg/Studienarbeiten/SA\\_RobertHofmann.pdf](https://www.uni-koblenz.de/~cg/Studienarbeiten/SA_RobertHofmann.pdf)
- **[4]** Philipp Schaber, Jakob Huber, Stephan Kopf: Analyse von Bildmerkmalen zur Identifikation wichtiger Bildregionen, Abgerufen am x.x.19 von: [https://ub-madoc.bib.uni-mannheim.de/33097/1/Kopf\\_2013d.pdf](https://ub-madoc.bib.uni-mannheim.de/33097/1/Kopf_2013d.pdf)

# Literaturverzeichnis

---

- **[5]** Unknown: Image Features, Hough Transform Image Pyramid, Folie 28, Abgerufen am x.x.19 von: <https://slideplayer.com/slide/5186539/>
- **[6]** Stephan Kopf: Integralbild, Abgerufen am x.x.19 von: [https://www.researchgate.net/figure/Integralbild-Um-die-Summe-des-grauen-Rechtecks-zu-ermitteln-sind-unabhaengig-dessen-Groesse\\_fig1\\_237007567](https://www.researchgate.net/figure/Integralbild-Um-die-Summe-des-grauen-Rechtecks-zu-ermitteln-sind-unabhaengig-dessen-Groesse_fig1_237007567)



# Abbildungsverzeichnis

---

- Abbildung 1: SIFT und SURF im groben Vergleich
- Abbildung 2: SIFT – DOG - [2]
- Abbildung 3: SIFT – DOG, visuelles Beispiel - [5]
- Abbildung 4: SURF – Boxfilter - [4]
- Abbildung 5: Erzeugung von Skalierungsinvarianz bei SIFT vs. SURF - [2]
- Abbildung 6: Horizontaler, vertikaler und diagonaler Filter - [1]
- Abbildung 7: Aufbau der Hesse-Matrix - [4]
- Abbildung 8: Horizontaler, vertikaler und diagonaler Filter - [1]
- Abbildung 9: Horizontaler, vertikaler und diagonaler Filter - [1]
- Abbildung 10: Filter  $L_{yy}$ ,  $L_{xy}$  und die approx. Varianten  $D_{yy}$  und  $D_{xy}$  - [3]
- Abbildung 11: Berechnung einer Fläche auf dem Integralbild - [6]
- Abbildung 12: Berechnung der Hesse-Matrix und ihre Determinante (mit den Box-Filtern) - [4]
- Abbildung 13: Berechnungsbeispiel des Integralbilds - [4]

# Abbildungsverzeichnis

---

- Abbildung 14: Berechnungsbeispiel des Integralbilds - [4]
- Abbildung 15: Vertikaler Boxfilter - [3]
- Abbildung 16: Berechnungsbeispiel des Integralbilds - [4]
- Abbildung 17: Horizontaler Boxfilter - [3]
- Abbildung 18: Berechnungsbeispiel des Integralbilds - [4]
- Abbildung 19: Oktaven und Ebenen in Abhängigkeit der Filtergröße - [4]

# Vielen Dank für Eure Aufmerksamkeit

---

## Farzin Ranjbar Mirzakhani



Universität Hamburg

DER FORSCHUNG | DER LEHRE | DER BILDUNG

